

## บทที่ 4

### ผลการวิเคราะห์แบบจำลองไฟไนอิลิเมนต์คาน-เสาคอนกรีตเสริมเหล็ก

บทนี้จะนำเสนอผลการวิเคราะห์แบบจำลองไฟไนอิลิเมนต์ของคาน-เสาคอนกรีตเสริมเหล็ก สร้างแบบจำลองจำนวน 4 ตัวอย่าง (CN1 CN2 CN3 และ CN4) ทั้งนี้แบบจำลองไฟไนอิลิเมนต์ที่พัฒนาขึ้นตามลักษณะและข้อกำหนดที่นำเสนอในบทที่ 3 โดยแบบจำลองทั้ง 4 นั้นมีความพยายามของคานและเสาขนาดหน้าตัด จำนวนเหล็กเสริมและเหล็กปลอก รวมถึงคุณสมบัติของวัสดุต่างๆ เมื่อกันทุกประการ สิ่งที่แตกต่างกันคือรายละเอียดเหล็กเสริมในบริเวณข้อต่อ จุดประสงค์เพื่อเปรียบเทียบพฤติกรรมต่างๆ ของแบบจำลองข้อต่อ เช่น ลักษณะการกระจายตัวของความเค้น ลักษณะการกระจายแรงกระแทกจากคานสู่เสา สิ่งเหล่านี้สามารถนำมาพิจารณาประกอบการประเมินศักยภาพการรับแรงของข้อต่อ และลักษณะการพังของข้อต่อได้

#### 4.1 แบบจำลองไฟไนอิลิเมนต์คาน-เสาคอนกรีตเสริมเหล็ก

เมื่อเกิดแผ่นดินไหวแผ่นดินจะมีการเคลื่อนตัวในลักษณะคลื่น (Wave) ทำให้เกิดแรงเนื่องจากแผ่นดินไหว ซึ่งมีลักษณะเป็นวัฏจักร (Cyclic Load) โดยมีลักษณะไป-กลับ (ซ้าย-ขวา) เมื่อโครงข้อแข็งเหล็กรับแรงแผ่นดินไหว จึงเสมือนว่าถูกแรงกระทำด้านข้างกระทำ ดังแสดงในรูป 4.1ก และ 4.1ข ส่วนรูป 4.1ค แสดงไดอะแกรมโมเมนต์ดัดของโครงข้อแข็งเหล็ก เมื่อรับแรงด้านข้าง จะเห็นว่าที่บริเวณกึ่งกลางเสาขึ้นบน-ล่าง และจุดกึ่งกลางช่วงคาน จะเป็นจุดที่โมเมนต์ดัด เป็นศูนย์ (จุดดัดกลับของโมเมนต์ดัด) นั้นหมายความว่า ขึ้นส่วนคาน-เสาตรงบริเวณนี้ ซึ่งเป็นบริเวณข้อต่อระหว่างคานกับเสา สามารถจำลองสภาพการใส่แรง และเงื่อนไขการยึดรังได้ดังรูปที่ 4.1ง กล่าวโดยสรุป ข้อต่อคาน-เสาแบบถ่ายโมเมนต์ของเสาตันริม เมื่อรับแรงแผ่นดินไหว สามารถจำลองลักษณะการใส่แรงได้ โดยใส่แรงวัฏจักรที่บริเวณกึ่งกลางของช่วงคาน โดยที่ปลายเสาทั้งบนและล่างจะมีเงื่อนไขของการยึดรังเป็นแบบสลัก (Pin Support)

ขนาดตัวอย่างคาน-เสา หน้าตัด และรายละเอียดการเสริมเหล็กของแบบจำลองไฟไนอิลิเมนต์ CN1 CN2 CN3 และ CN4 แสดงในรูปที่ 4.2-4.5 ส่วนตารางที่ 4.1 และ 4.2 แสดงคุณสมบัติคอนกรีต และเหล็กเสริมที่ใช้กับแบบจำลองข้างต้น แบบจำลอง CN1 เหล็กเสริมหลักในคานถูกยึนเข้าไปในเสาและหดตัวเหล็กยึนด้านหลังเสา แบบจำลอง CN2 เหล็กเสริมหลักในคานถูกยึนเข้าไปในเสาและงอปลาย 50 มิลลิเมตรทั้งบนและล่างตามความยาวเหล็กยึนด้านหลังเสา แบบจำลอง CN3 เหล็กเสริมหลักในคานถูกยึนเข้าไปในเสาและงอปลายเท่านิดความลึกของคานทั้งบนและล่างตามความยาวเหล็กยึนด้านหลังเสา ส่วนแบบจำลอง CN4 นำเอาแบบจำลอง CN3 มาทำการปรับปรุงบริเวณรอยต่อโดยเสริมเหล็กปลอกเพิ่มเติมให้มีระยะเป็นไปตามมาตรฐาน ACI 318-99 รายละเอียดเหล็กเสริมของแบบจำลองทั้ง 4 แสดงไว้

ในตารางที่ 4.3 รูปที่ 4.6 แสดงตัวແໜ່ງຮອງຮັບໃນສາບຣິເວນປລາຍເສາດ້ານລ່າງແລະບນ ສ່ວນແຮງຮະທຳຈຸກ  
ໄສ່ທີ່ບຣິເວນປລາຍຄານຕາມຮູບ

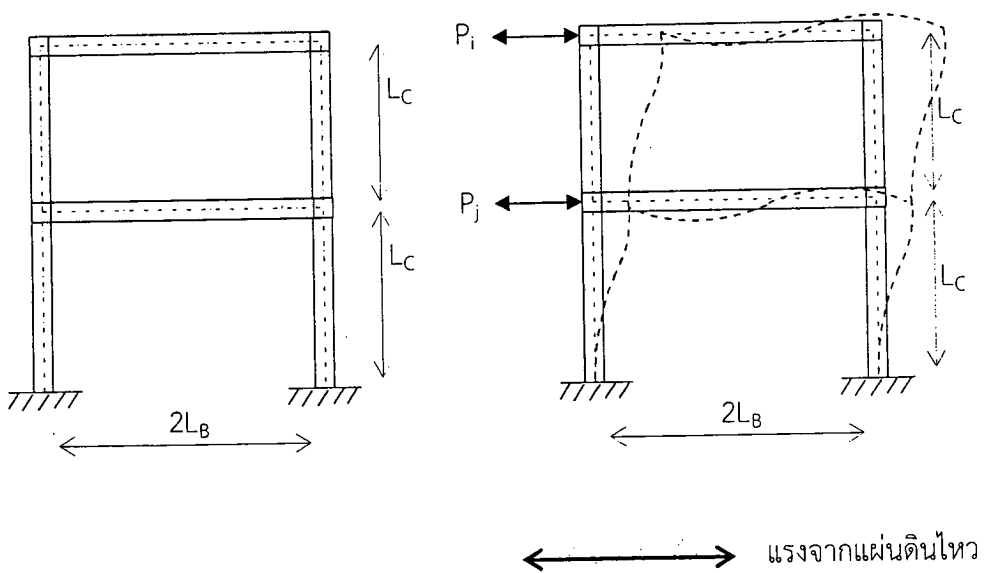
ตารางที่ 4.1 ອຸນສົມບັດຄອນກົດທີ່ໃຊ້ກັບແບບຈຳລອງໄຟໃນອີລິເມນົດຄານ-ເສາ (CN1, CN2, CN3, CN4)

ແບບ ຈຳລອງ	ສົມກາຣຄອນກົດ	$f_c'$ ksc.	$E_c$ ksc.	$f_r$ ksc.	$\nu$	$\beta_i$	
						ຮາບເຮືຍບ	ຮຸນແຮງ
CN1	Desayi & Krishnan	300	265,862	40.0	0.2	0.3	0.7
CN2	Desayi & Krishnan	300	265,862	40.0	0.2	0.3	0.7
CN3	Desayi & Krishnan	300	265,862	40.0	0.2	0.3	0.7
CN4	Desayi & Krishnan	300	265,862	40.0	0.2	0.3	0.7

ตารางที่ 4.2 ອຸນສົມບັດເຫັນທີ່ໃຊ້ກັບແບບຈຳລອງໄຟໃນອີລິເມນົດຄານ-ເສາ (CN1, CN2, CN3, CN4)

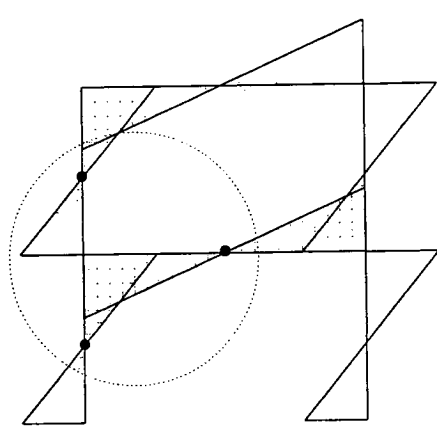
ແບບຈຳລອງ	DB16 (ເໜັກຢືນ) ksc.		RB6 (ເໜັກປລອກ) ksc.	
	$f_y^*$	$E_s^*$	$f_y^*$	$E_s^*$
CN1	5,885	2,111,000	3,175	2,159,000
CN2	5,885	2,111,000	3,175	2,159,000
CN3	5,885	2,111,000	3,175	2,159,000
CN4	5,885	2,111,000	3,175	2,159,000

\* ພລຈາກກາຣທດສອບ

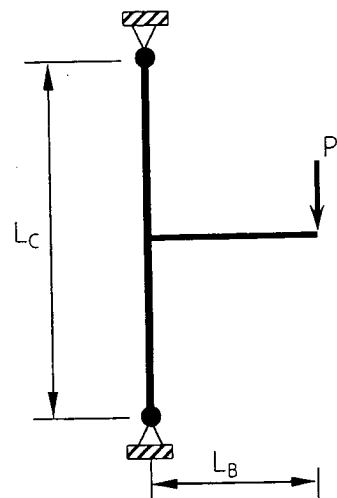


(ก) การจำลองโครงข้อแข็งเพื่อวิเคราะห์การรับ  
แรงด้านข้าง

(ข) การจำลองการเสียรูปของโครงข้อแข็ง  
เมื่อรับแรงด้านข้าง

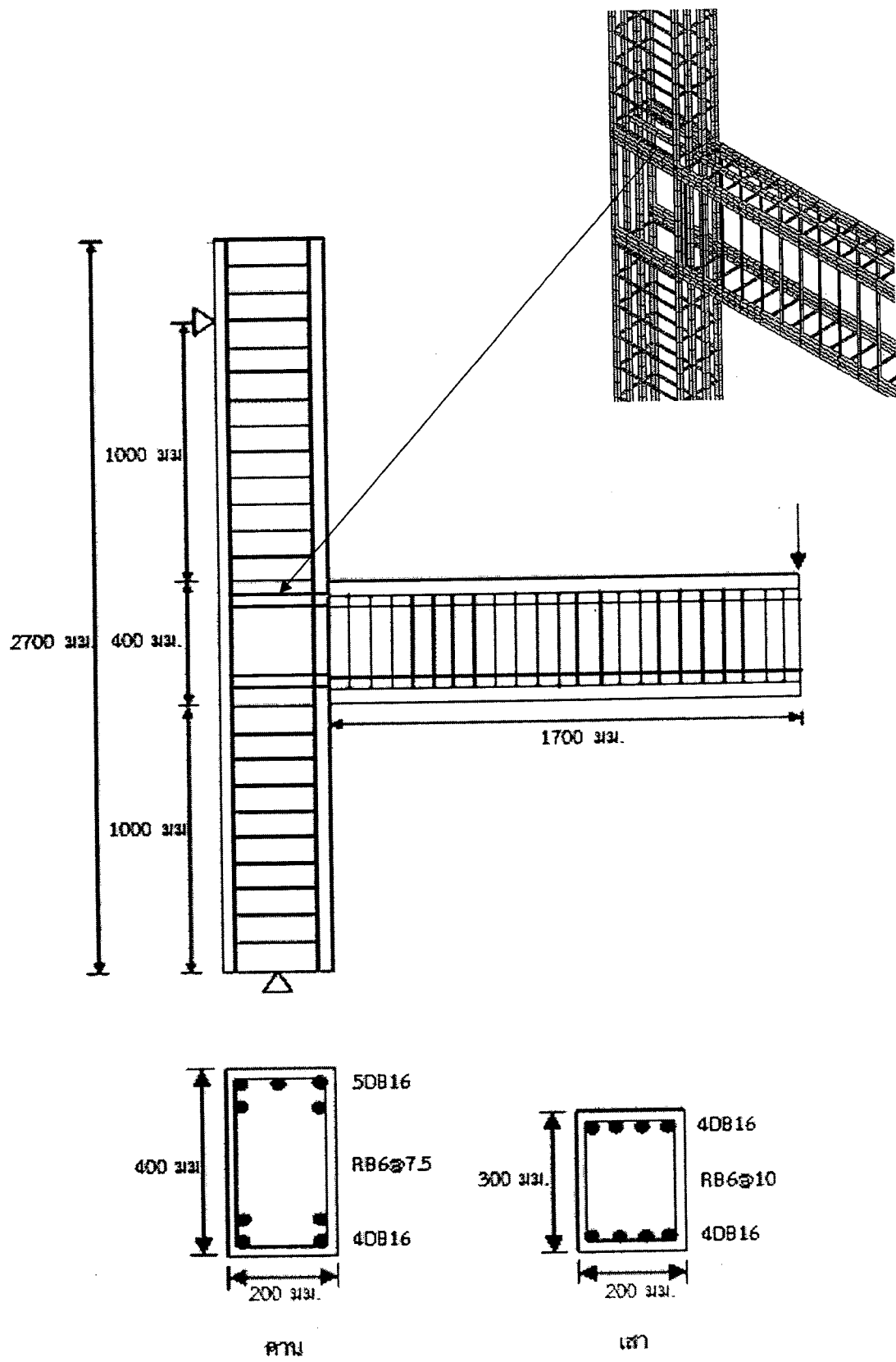


(ค) แผนภาพแสดงโมเมนต์ภายในของโครงสร้าง

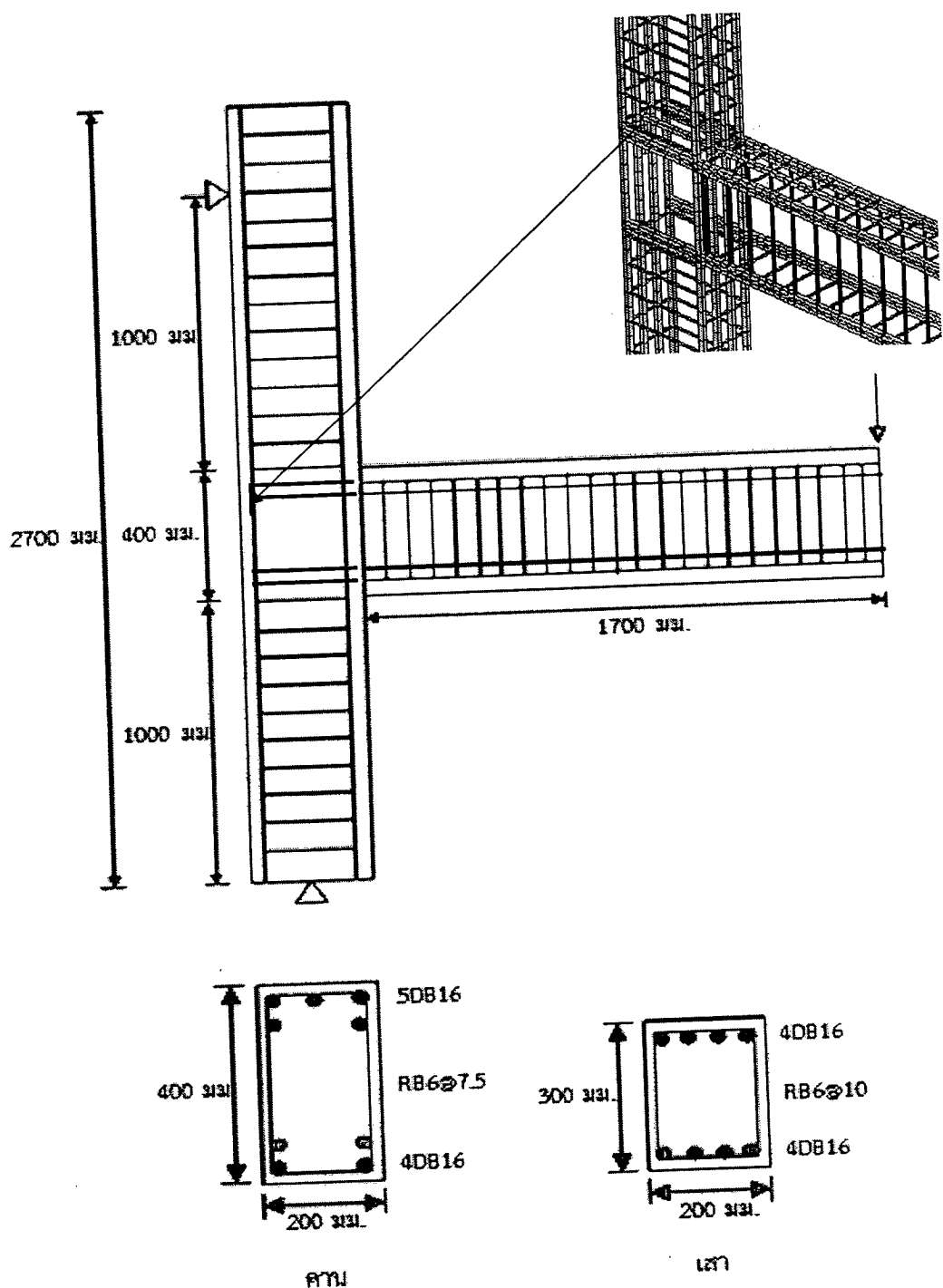


(ง) ขยายบริเวณข้อต่อ

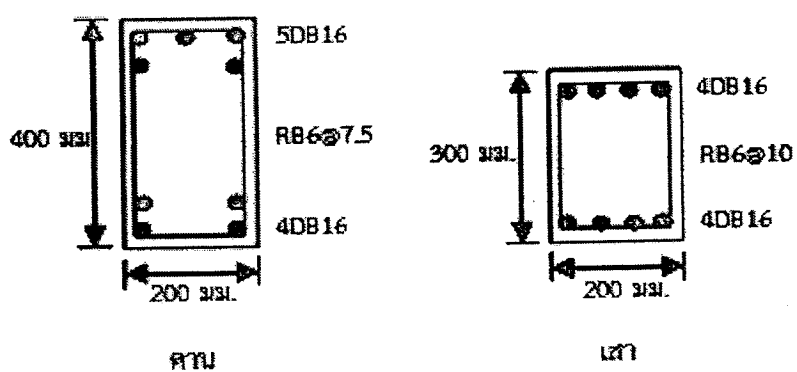
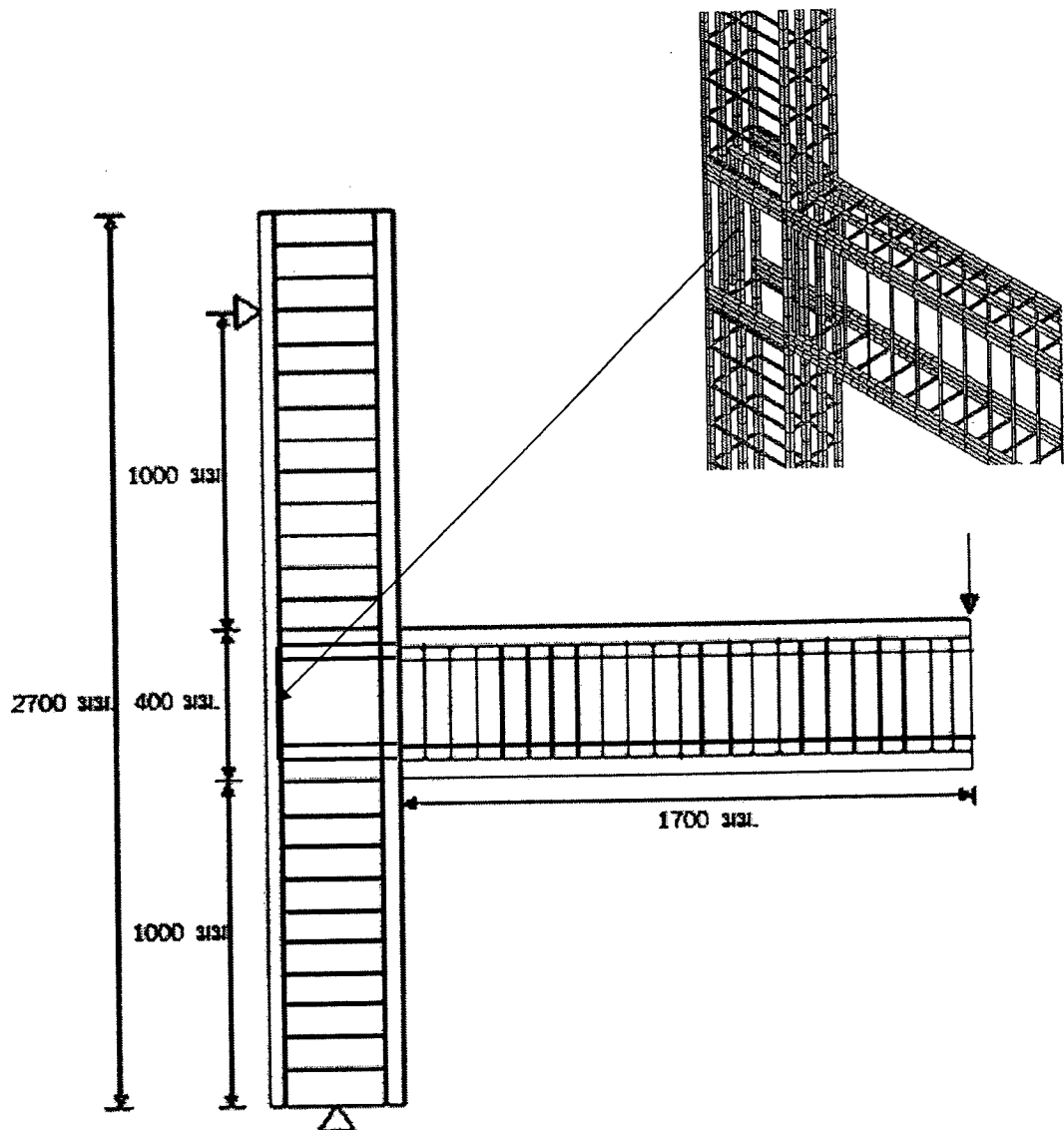
รูปที่ 4.1 โครงข้อแข็งเมื่อมีการรับแรงแผ่นดินไหว



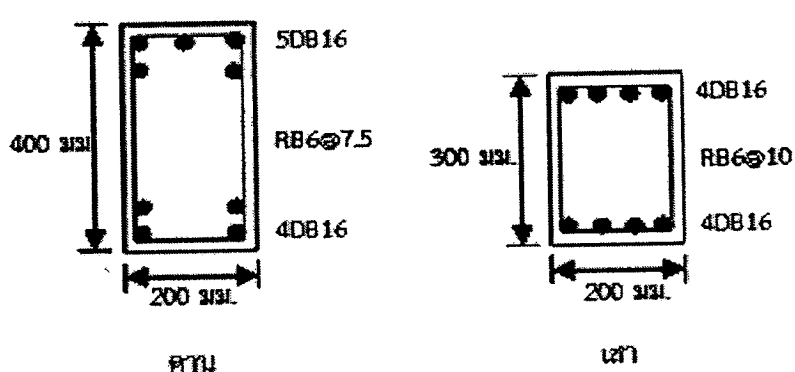
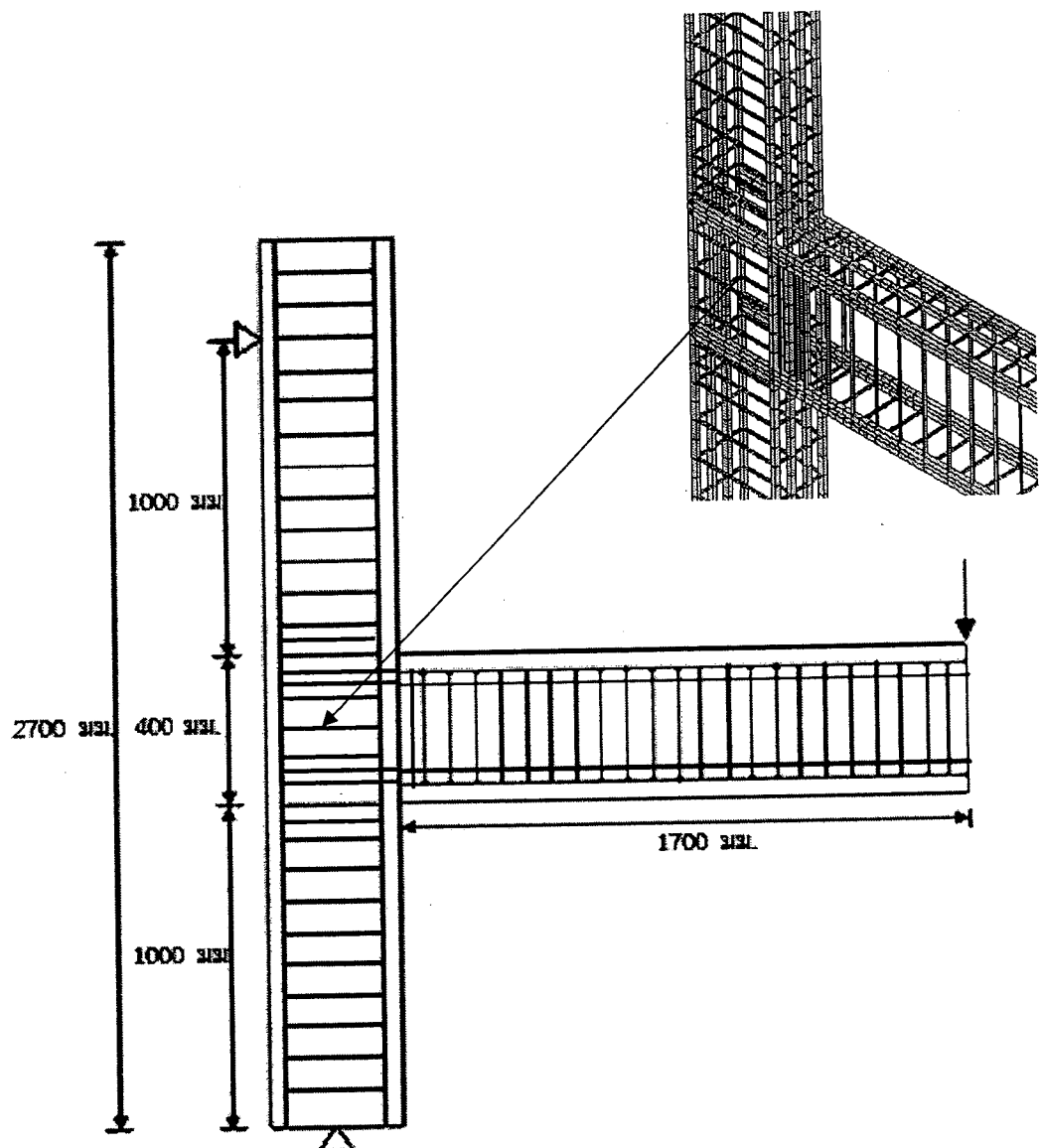
รูปที่ 4.2 ขนาดเสาและคาน ขนาดหน้าตัดและการเสริมเหล็กแบบจำลอง CN1



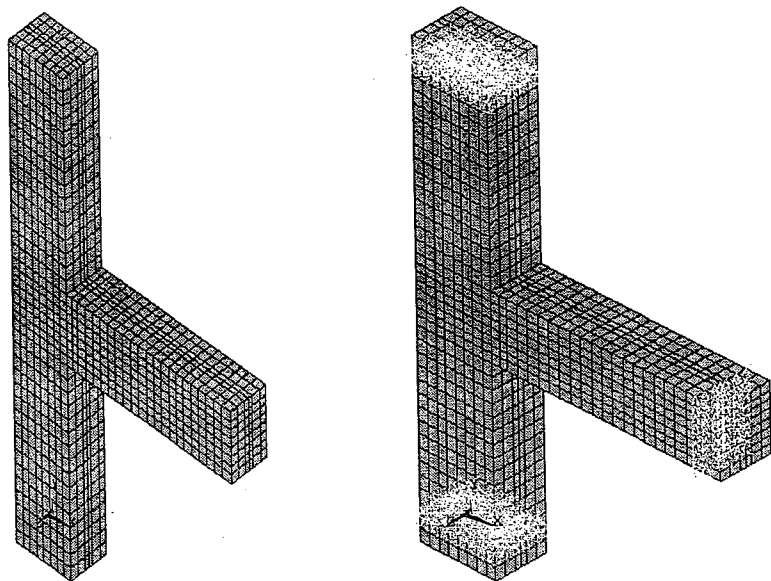
รูปที่ 4.3 ขนาดเสาและคาน ขนาดหน้าตัดและการเสริมเหล็กแบบจำลอง CN2



รูปที่ 4.4 ขนาดเส้นและคาน ขนาดหน้าตัดและการเสริมเหล็กแบบจำลอง CN3



รูปที่ 4.5 ขนาดเส้นและค่าน ขนาดหน้าตัดและการเสริมเหล็กแบบจำลอง CN4

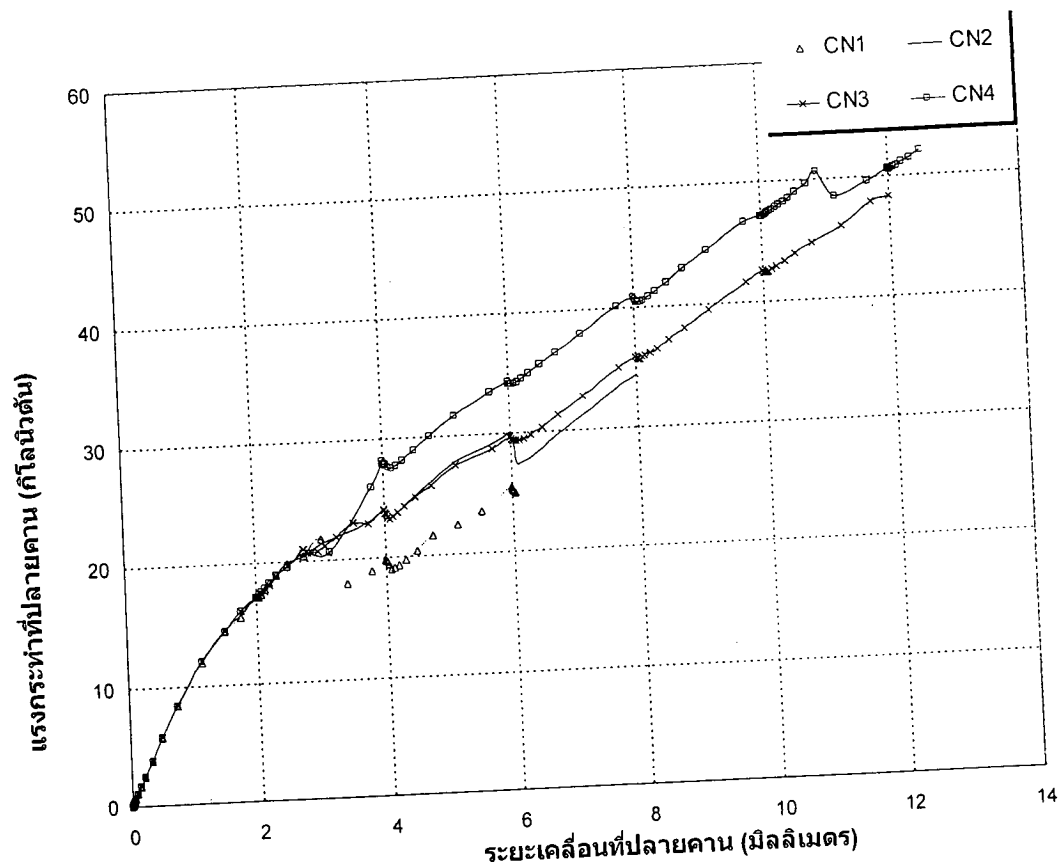


รูปที่ 4.6 ตำแหน่งรองรับในเสาและแรงกระทำที่ปลายคานของแบบจำลอง CN1 CN2 CN3 และ CN4

ตารางที่ 4.3 รายละเอียดบริเวณจุดต่อของแบบจำลองไฟน์อิลิเมนต์ CN1 CN2 CN3 และ CN4

แบบจำลอง	รูปแบบการเสริมเหล็กที่จุดต่อ	รายละเอียดของโครงสร้าง
CN1		เหล็กเสริมหลักจากคานยืนเข้ามาไปเสา หยุดที่เหล็กยืนด้านหลังเสา
CN2		เหล็กเสริมหลักจากคานยืนเข้ามาไปเสา งอปลายเท่ากับ 50 มม. ทั้งบนและล่าง ตามความยาวเหล็กยืนด้านหลังเสา
CN3		เหล็กเสริมหลักในคานถูกยื่นเข้าไปใน เสาและงอปลายเท่าขนาดความลึกของ คานทั้งบนและล่างตามความยาวเหล็ก ยืนด้านหลังเสา
CN4		นำแบบจำลอง CN3 มาทำการปรับปรุง บริเวณรอยต่อโดยเสริมเหล็กปลอก เพิ่มเติมให้มีระยะเป็นไปตามมาตรฐาน ACI 318-99

4.2 ผลการวิเคราะห์แบบจำลองไฟในอิลิเมนต์คาน-เสา CN1 CN2 CN3 และ CN4

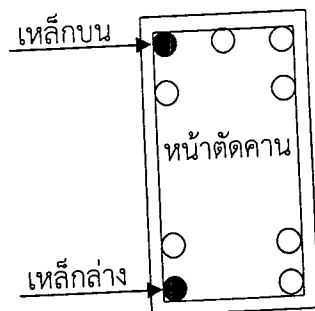


รูปที่ 4.7 ความสัมพันธ์ระหว่างแรงกระทำที่ปลายคานและระยะเคลื่อนที่ปลายคานของแบบจำลอง CN1 CN2 CN3 และ CN4

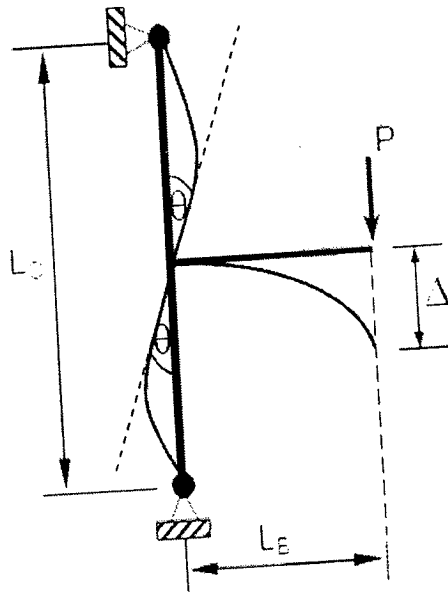
รูปที่ 4.7 แสดงความสัมพันธ์ระหว่างแรงกระทำที่ปลายคานและระยะเคลื่อนที่ปลายคาน จากผลการวิเคราะห์แบบจำลองทั้ง 4 ตัวอย่าง แรงกระทำและการเคลื่อนที่ที่ปลายคานมีค่าเท่ากันทั้ง 4 แบบจำลอง โดยมีแรงกระทำในช่วงพิกัดยืดหยุ่น (Elastic) อยู่ระหว่าง 0-20 กิโลนิวตัน และมีระยะเคลื่อนตัวที่ปลายคานประมาณ 3 มิลลิเมตร งานนี้เมื่อคานเริ่มมีรอยร้าวที่บริเวณหลังคานตำแหน่งใกล้หน้าเสา กราฟของแต่ละแบบจำลองจะมีการเปลี่ยนความชัน จากรูปพบว่าแบบจำลอง CN4 สามารถรับแรงได้สูงสุดประมาณ 52 กิโลนิวตัน CN3 รับแรงได้ 48 กิโลนิวตัน CN2 รับแรงได้ 34 กิโลนิวตัน และ CN1 รับแรงได้น้อยสุดเท่ากับประมาณ 25 กิโลนิวตัน นอกจากนี้เมื่อพิจารณาจากการเคลื่อนที่ที่ปลายคานพบว่า แบบจำลอง CN4 มีค่าการเคลื่อนที่ที่ปลายคานสูงสุดเท่ากับ 12.5 มิลลิเมตร CN3 มีค่าการเคลื่อนที่ที่ปลายคานสูงสุดเท่ากับ 12 มิลลิเมตร CN2 มีค่าการเคลื่อนที่ที่ปลายคานสูงสุดเท่ากับ 8

มิลลิเมตร และ CN1 มีค่าการเคลื่อนที่ที่ปลายคานสูงสุดเท่ากับ 4 มิลลิเมตร สอดคล้องกับแรงกระทำดังนั้นจึงสรุปว่าเมื่อมีการยืนเหล็กจากคานเข้าในเสาและมีระยะอ卜ปลายเพิ่มมากขึ้น สามารถช่วยเพิ่มความสามารถในการรับแรงและเพิ่มระยะการเคลื่อนที่ที่ปลายคานได้ และเมื่อมีการเพิ่มเหล็กปลอกที่ความสามารถในการรับแรงและเพิ่มระยะการเคลื่อนที่ที่ปลายคานได้ ตามคำแนะนำของ ACI 318-99 สามารถช่วยเพิ่มกำลังและเพิ่มระยะการเคลื่อนที่บริเวณจุดต่อให้มากขึ้นตามที่ต้องการ ที่สำคัญคือต้องติดตั้งเหล็กเสริมที่ยืนจากคานที่ปลายคานได้ ช่วยให้พัฒนาระบบการพังของข้อต่อตื้น เพื่อเป็นการตรวจสอบว่าเหล็กเสริมที่ยืนจากคานเข้าไปในเสาไม่พัฒนาระบบการพังของข้อต่อตื้น สามารถแสดงได้จากการภาพความสัมพันธ์ระหว่างค่าความเครียดที่เกิดขึ้นในเหล็กเสริมที่ตำแหน่งต่างๆ โดยให้แกน Y เป็นสัดส่วนความเครียดที่เกิดขึ้นของเหล็กเสริมต่อด้วย

ความเครียดที่จุดครากของเหล็กเสริม  $\left( \frac{\varepsilon}{\varepsilon_y} \right)$  และแกน X เป็นค่าตำแหน่งของเหล็กเสริมวัดจากหน้าเสาที่ติดกับคาน ค่าบวกแสดงระยะที่รัดไปตามแนวคาน ค่าลบแสดงระยะที่วัดเข้าไปในเสา เหล็กเสริมที่เลือกมาคือเหล็กเสริมในคานสันบนและล่างสุด แสดงดังรูปที่ 4.8 ค่าความเครียดถูกนำเสนอเมื่อแบบจำลองหมุนไปด้วยเปอร์เซนต์ drift ratio ต่างๆ กัน 4 ค่า สมการคำนวณเปอร์เซนต์ drift ratio แสดงไว้ในรูปที่ 4.9 และตารางที่ 4.4 แสดงค่าที่ได้จากการคำนวณ



รูปที่ 4.8 เหล็กเสริมในคานที่ใช้ในการอ่านค่าความเครียด



รูปที่ 4.9 ลักษณะการเสียรูปของแบบจำลองคาน-เสาคอนกรีตเสริมเหล็ก

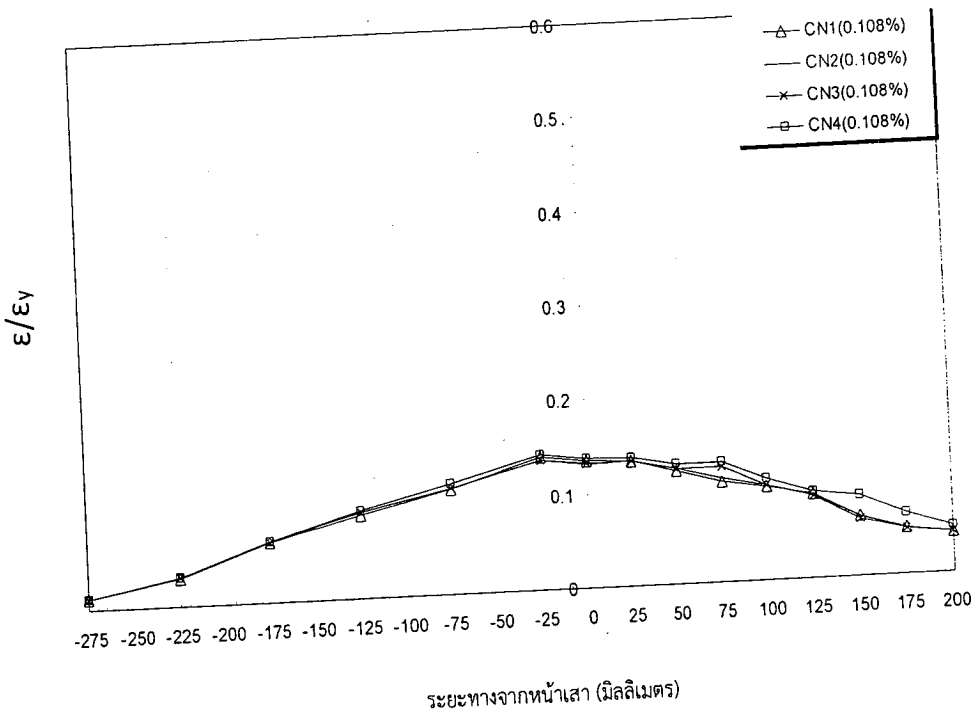
$$drift ratio (\%) \quad \theta = \left( \frac{\Delta}{L_B} \right) \times 100$$

ตารางที่ 4.4 ค่า drift ratio (%) ที่ใช้เปรียบเทียบความเครียดในเหล็กเสริมของแบบจำลอง

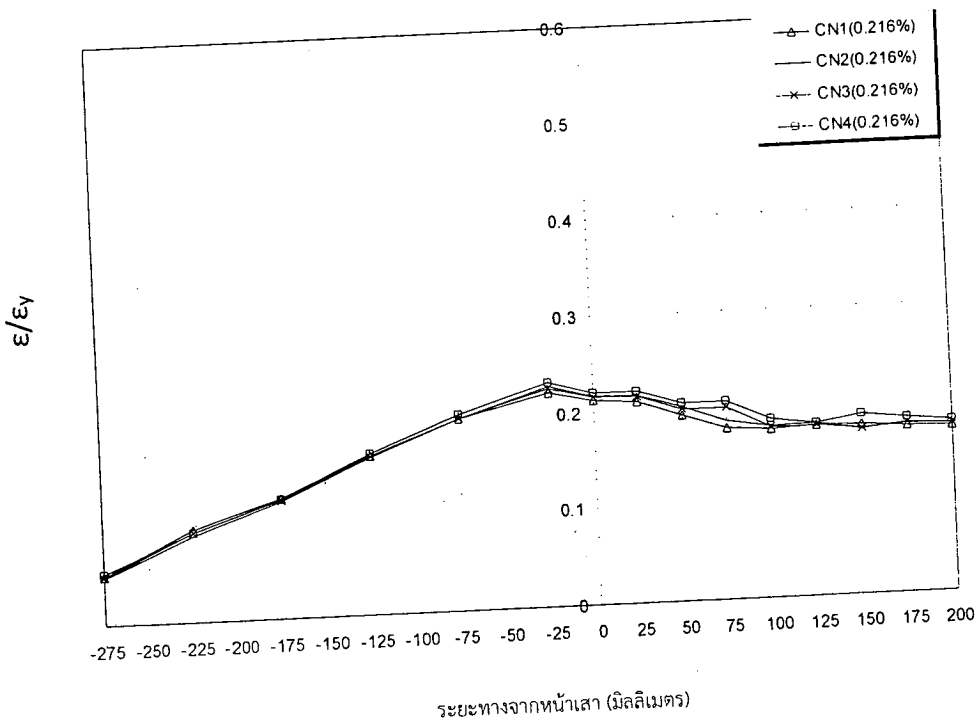
$\Delta$ (มิลลิเมตร)	$L_B$ (มิลลิเมตร)	$\theta$ (%)
2	1850	0.108
4	1850	0.216
8	1850	0.432
12	1850	0.649

ค่าสัดส่วนความเครียดต่อกำลังของเหล็กเสริมบนที่เปอร์เซนต์ drift ratio ต่างๆ แสดงตั้งแต่ 0.108% ถึง 0.649% ตามที่ได้คำนวณไว้ สำหรับค่า  $\Delta$  ที่ต่างกัน ค่า  $L_B$  ที่ต้องใช้คือ 25 มิลลิเมตร ตามที่ได้ระบุไว้ในตาราง 4.4 ดังนั้น ค่า drift ratio ที่คำนวณได้จะต้องนำไปใช้ในการออกแบบโครงสร้าง ให้ได้ผลลัพธ์ที่ถูกต้องและมีประสิทธิภาพมากที่สุด

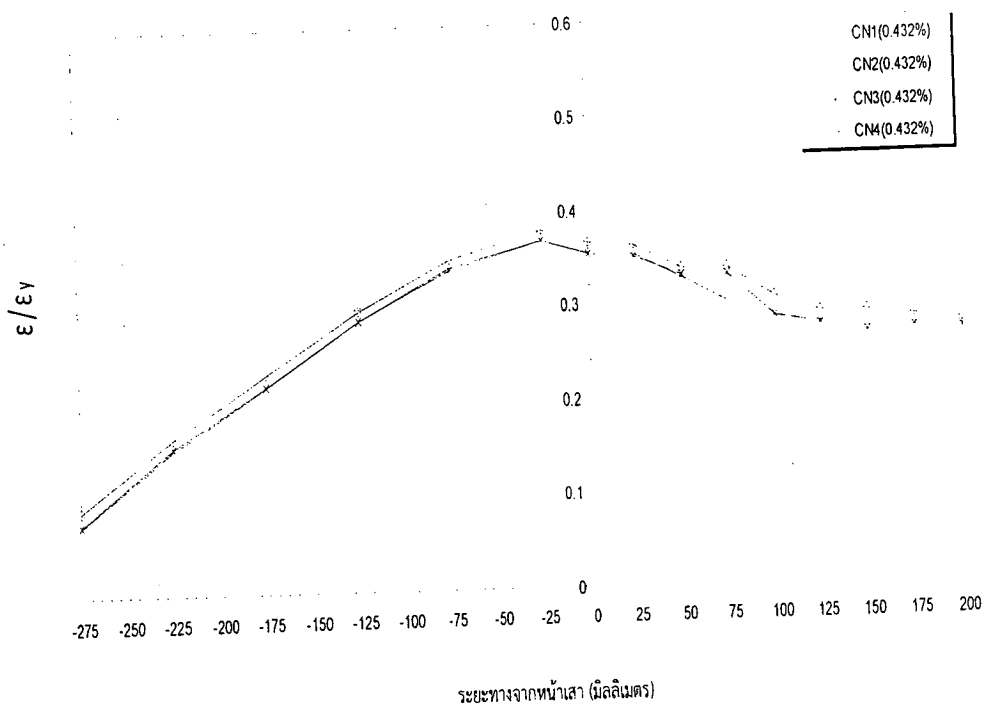
มากกว่าค่าความเครียดในเส้า เมื่อพิจารณาแล้วจะพบว่าเหล็กบนเส้นนี้ยังไม่เกิดการคราก ค่าความเครียดสูงสุดมีค่าเท่ากับ 0.53 หรือ 53% ของค่าความเครียดที่จุดครากที่เปอร์เซนต์ drift ratio เท่ากับ 0.649 ซึ่งเป็นค่าการหมุนสูงสุดที่ทำให้ข้อต่อเกิดการวิบติ ส่วนรูปที่ 4.14-4.17 แสดงค่าสัดส่วนความเครียดต่อความเครียดที่จุดครากของเหล็กเสริมล่างเกิดขึ้นที่เปอร์เซนต์ drift ratio ต่างๆ เนื่องจากเป็นเหล็กล่างค่าความเครียดที่เกิดขึ้นจริงมีค่าติดลบ ลักษณะกราฟของแบบจำลองทั้ง 4 กรณีค่าสอดคล้องกับค่าความเครียดในเหล็กเสริมบน ค่าความเครียดของเหล็กล่างมีค่าสูงสุดที่ตำแหน่งวัดจากหน้าเสาเข้ามาในค่านเท่ากับ 25 มิลลิเมตร เมื่อเปอร์เซนต์ drift ratio เท่ากับ 0.108 และ 0.216 จากนั้นเมื่อเปอร์เซนต์ drift ratio เพิ่มขึ้นเป็น 0.432 และ 0.649 ค่าความเครียดสูงสุดของเหล็กล่างเกิดขึ้นที่ตำแหน่งวัดจากหน้าเสาเข้ามาในค่านเท่ากับ 50 มิลลิเมตร สำหรับค่าความเครียดสูงสุดของเหล็กล่างนั้นมีค่าสูงสุดเท่ากับ 0.18 หรือ 18% ของค่าความเครียดที่จุดครากที่เปอร์เซนต์ drift ratio เท่ากับ 0.649 แสดงว่าเหล็กบนและเหล็กล่างทั้ง 2 เส้นนี้ยังไม่เกิดการคราก เมื่อวิเคราะห์เปรียบเทียบระหว่างแบบจำลอง CN1 CN2 CN3 และ CN4 มีค่าความเครียดในเหล็กเสริมทั้งบนและล่างแสดงให้เห็นว่า เหล็กเสริมจากแบบจำลอง CN4 มีประสิทธิภาพในการรับแรงได้ดีที่สุด รองลงมาคือ CN3 CN2 และ CN1 ตามลำดับ ผลของค่าความเครียดในเหล็กเสริมนี้สอดคล้องกับผลของแรงกระทำและการเคลื่อนที่ที่ปลายคานดังแสดงไว้ข้างต้น ลักษณะการพังของแบบจำลอง CN1 CN2 CN3 และ CN4 สามารถดูได้จากรูปที่ 4.18 ประกอบกับรูปที่ 4.19 ซึ่งแสดงเส้นขั้นความชันของความเค้นอัตราสูงสุดที่เกิดขึ้น ทั้งสี่ตัวอย่างมีลักษณะการพังที่ตำแหน่งต่างกัน กล่าวคือ CN1 เกิดการพังที่บริเวณ panel zone ด้านบนซึ่งเหล็กเสริมที่ตำแหน่งนี้รับแรงดึง ส่วน CN2 การพังเกิดขึ้นที่มุ่งเสานบนด้านใกล้คานบริเวณการอปปลายเหล็กเสริม CN3 เสียหายที่บริเวณ panel zone ส่วนเหล็กบนเข่นกันกับ CN1 แต่การแตกของคอนกรีตค่อนข้างกระจายตัวและไม่ใหญ่มาก CN4 มีลักษณะการพังที่แตกต่างไปตำแหน่งการพังเกิดขึ้นที่บริเวณหน้าเสาด้านติดกับคานโดยเกิดขึ้นตลอดความลึกคาน



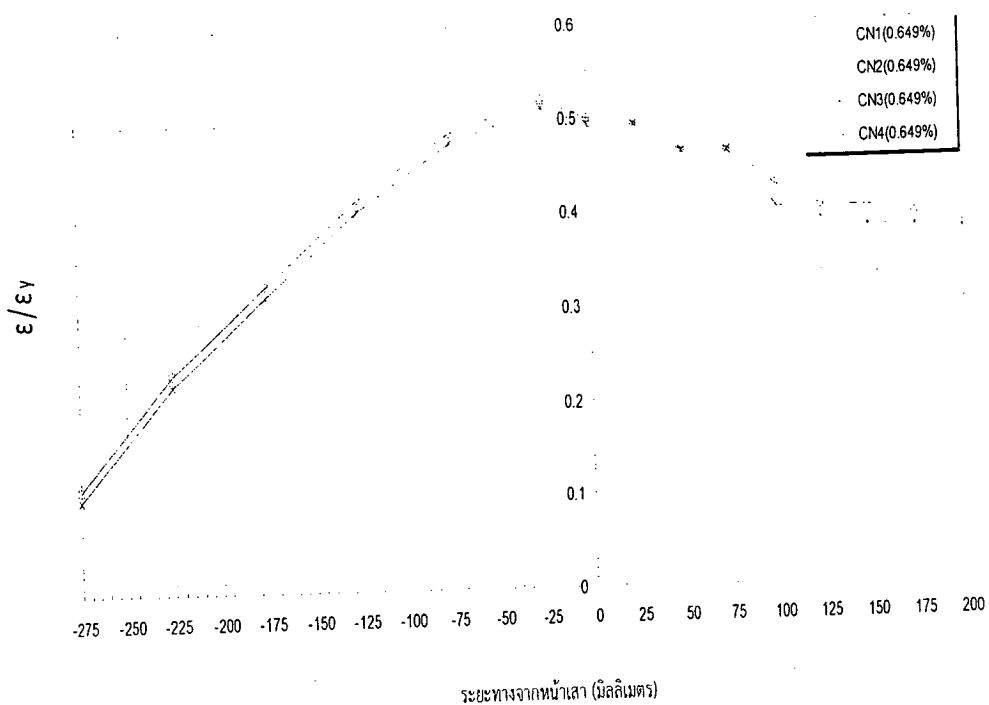
รูปที่ 4.10 สัดส่วนความเครียดต่อความเครียดที่จุดครากของเหล็กเสริมบันที่ 0.108% drift ratio



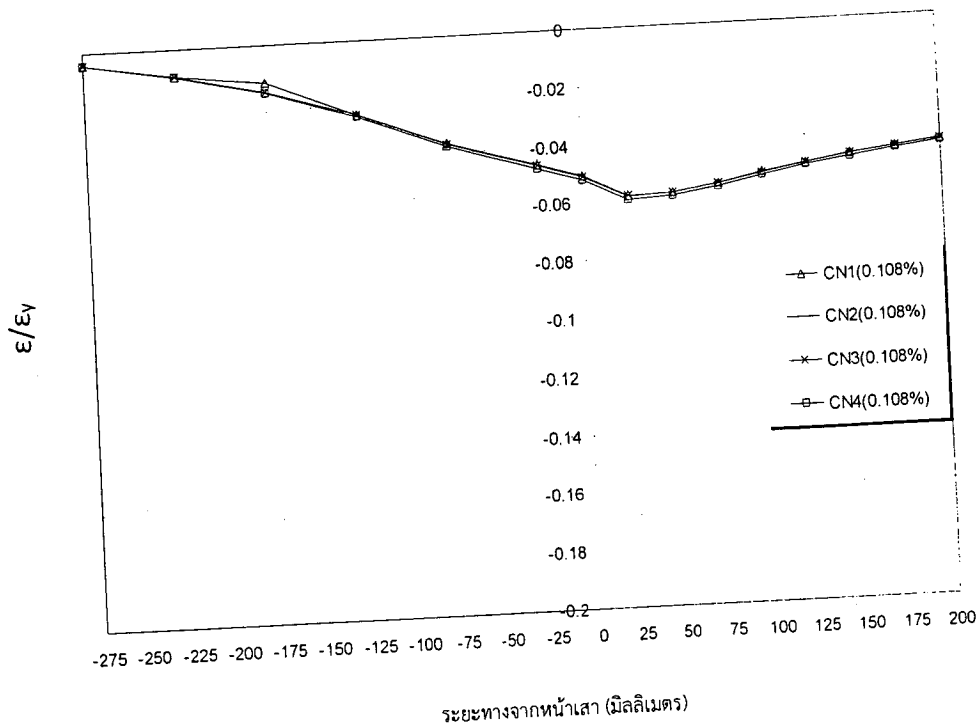
รูปที่ 4.11 สัดส่วนความเครียดต่อความเครียดที่จุดครากของเหล็กเสริมบันที่ 0.216% drift ratio



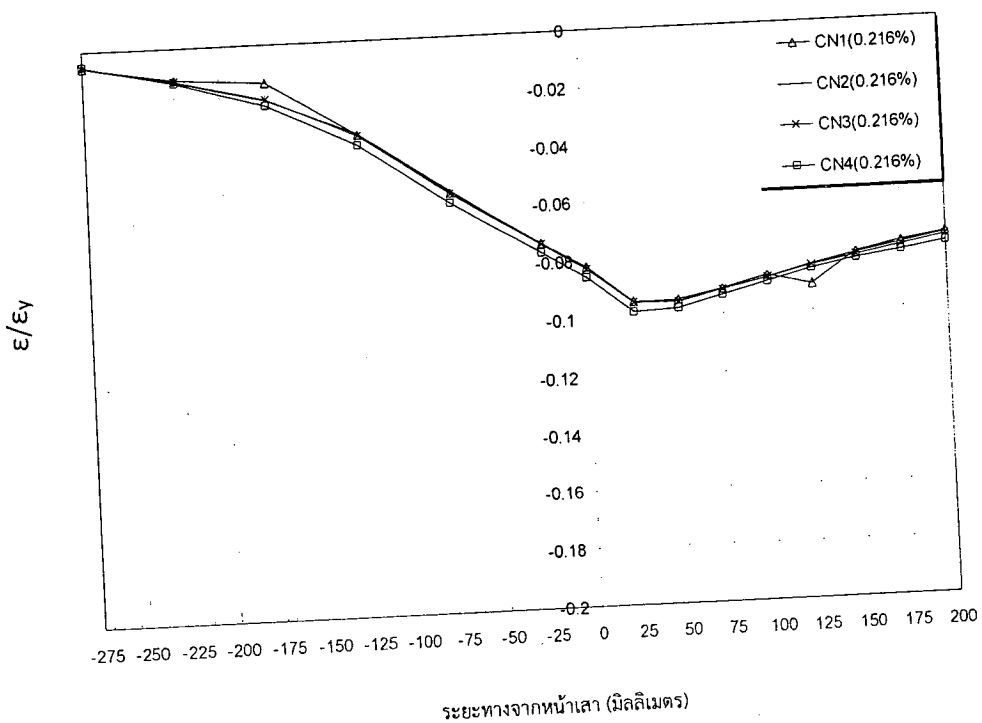
รูปที่ 4.12 สัดส่วนความเครียดต่อความเครียดที่จุดครากของเหล็กเสริมบัน ที่ 0.432% drift ratio



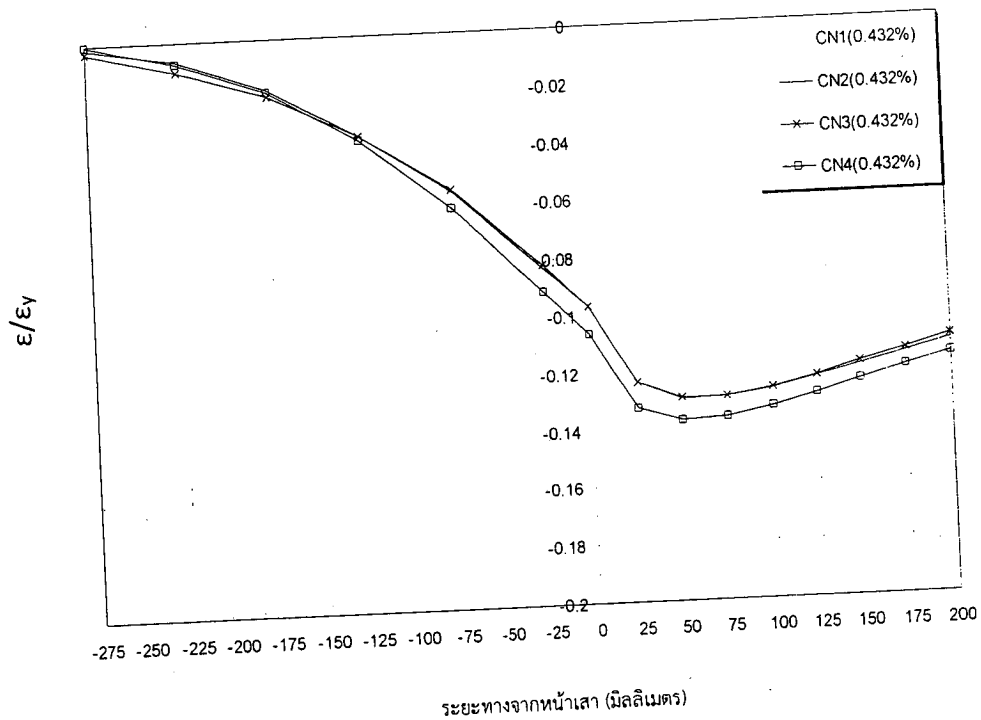
รูปที่ 4.13 สัดส่วนความเครียดต่อความเครียดที่จุดครากของเหล็กเสริมบัน ที่ 0.649% drift ratio



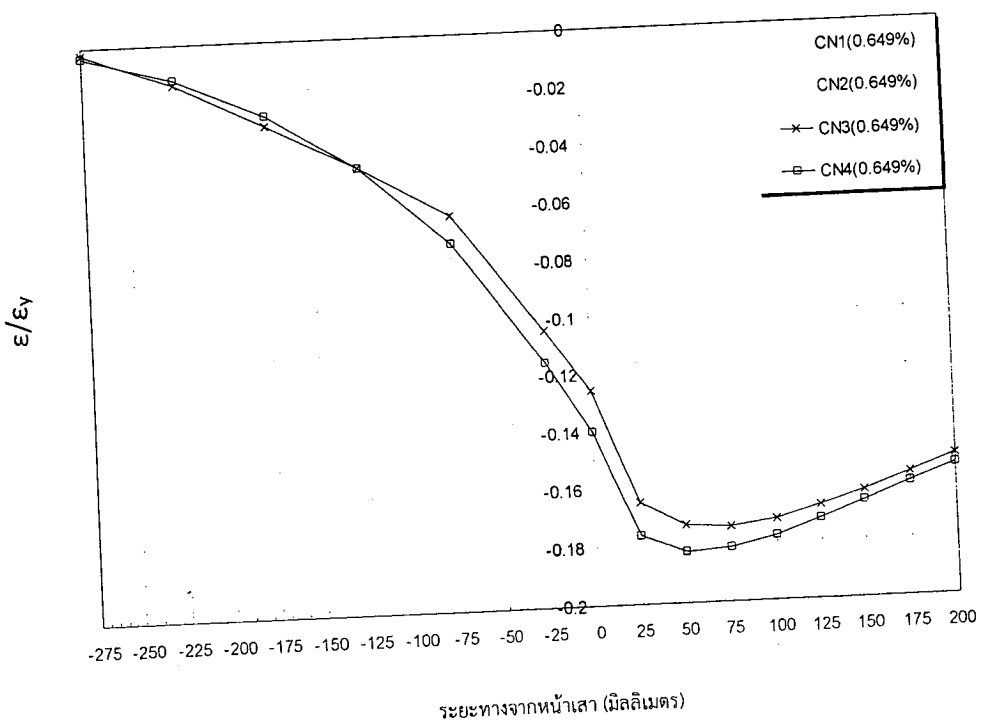
รูปที่ 4.14 สัดส่วนความเครียดต่อความเครียดที่จุดครากของเหล็กเสริมล่าง ที่ 0.108% drift ratio



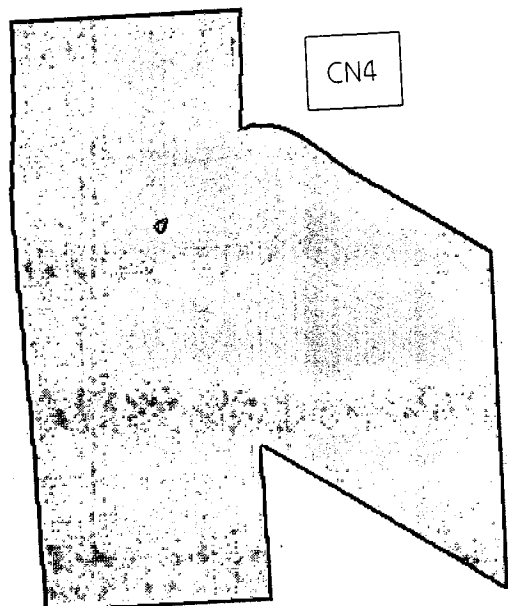
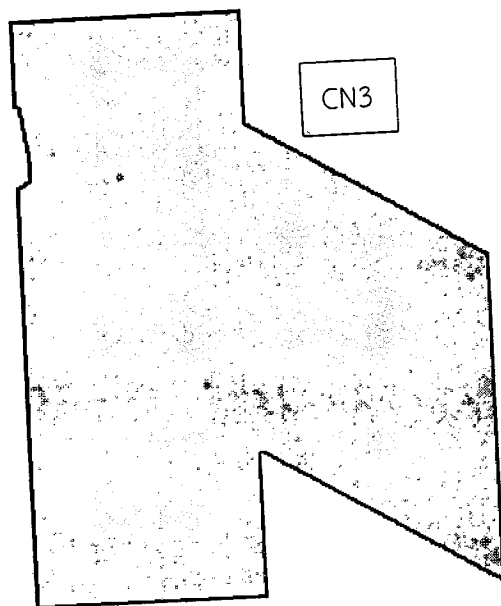
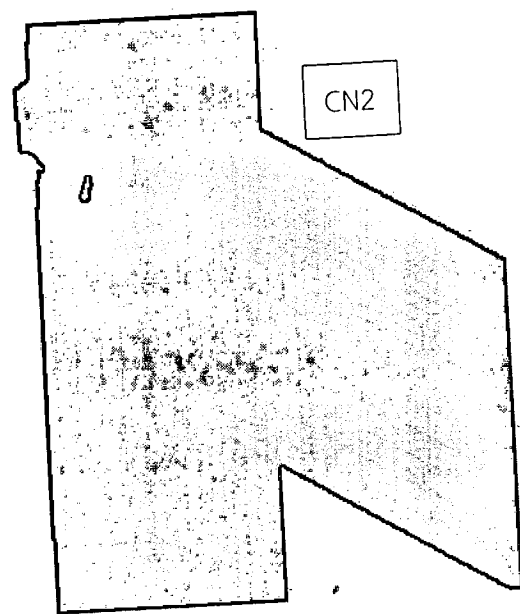
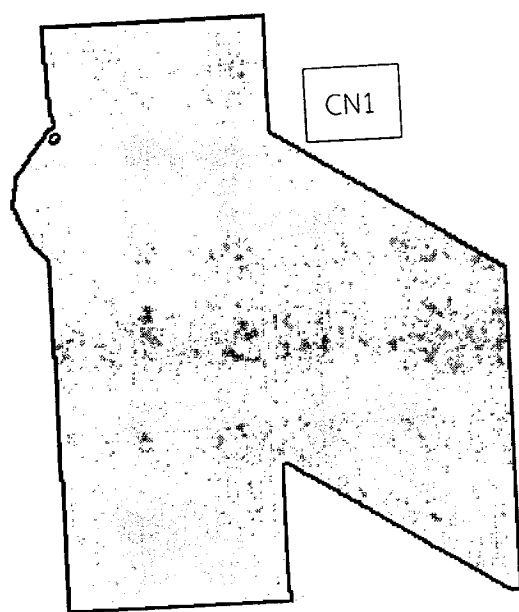
รูปที่ 4.15 สัดส่วนความเครียดต่อความเครียดที่จุดครากของเหล็กเสริมล่าง ที่ 0.216% drift ratio



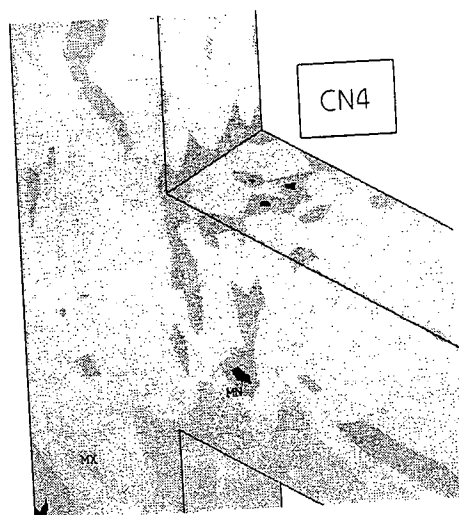
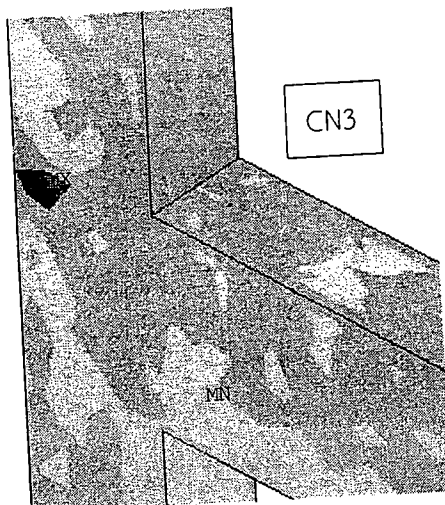
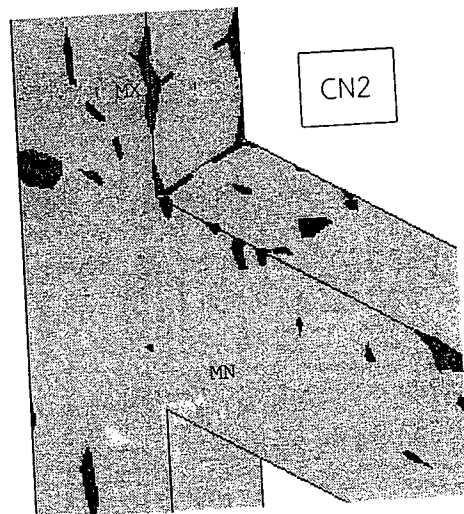
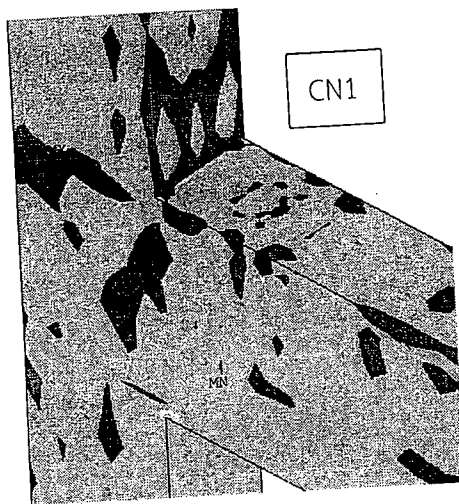
รูปที่ 4.16 สัดส่วนความเครียดต่อความเครียดที่จุดครากของเหล็กเสริมล่าง ที่ 0.432% drift ratio



รูปที่ 4.17 สัดส่วนความเครียดต่อความเครียดที่จุดครากของเหล็กเสริมล่าง ที่ 0.649% drift ratio



รูปที่ 4.18 การเสียรูปของแบบจำลอง CN1 CN2 CN3 และ CN4



รูปที่ 4.19 เส้นขั้นความชันของความเค้นอัดหลักสูงสุดที่เกิดขึ้นในแบบจำลอง CN1 CN2 CN3 และ CN4